

Research Paper

Difference in Behavior of Multiphoton Resonances for Odd and Even Multiples of the Strong Driving Fields Photon Energy in Five-level Quantum Systems¹

Mostafa Karami² and Parsa Zamani³

Received: 2020.05.14

Revised: 2020.10.18

Accepted: 2020.12.20

Abstract

In this research, level structure of two-electron double quantum dots in terms of energy levels crossings a five-level system is modeled. This work is done for explaining reasons of happening multiphoton resonances and their different behavior for the odd and even multiples of photon energy near interdot charge transitions that shows the current detuning dependence on this asymmetry. First, interference phase and transition rates up to fourth order for zero and arbitrary detunings were calculated making use of non-adiabatic and strong-field approximations. Second, by numerical simulation and its analysis, the steady-state current is calculated in spin-blockaded situation that it perfectly agrees with the measured current in experiments done on InAs and GaAs double quantum dots. At last, it was shown that the obtained results in this model contain all main features of the experimental data and this behavioral difference of resonances for the frequency integer multiples is specific to multilevel systems in the presence of the large-amplitude applied fields. This study is closely related to the nano and micro scales, solid state and atomic or molecular systems.

Keywords: *Multilevel Quantum Interferences, Multiphoton Resonances, Odd-even Multiple Effect, Two-electron Regime, Background Current.*

¹ DOI: 10.22051/ijap.2020.31396.1161

² Teacher of Mamasani Education Department, Ministry of Education of Fars, Fars, Iran; PhD Student, Department of Physics, Faculty of Science, Yasouj University, Yasouj, Iran (Corresponding Author). Email: mostafakarami35@yahoo.com

³ Assistant Professor, Department of Physics, Faculty of Science, Yasouj University, Yasouj, Iran. Email: p_zamani@yu.ac.ir

تفاوت رفتار تشدیدهای چندفوتونی به ازای مضارب فرد و زوج انرژی فوتون میدانهای محرک قوی در سامانه‌های کوانتومی پنج‌ترازی^۱

مصطفی کرمی*^۲ و پارسا زمانی^۳

تاریخ دریافت: ۱۳۹۹/۰۲/۲۵

تاریخ بازنگری: ۱۳۹۹/۰۷/۲۷

تاریخ پذیرش: ۱۳۹۹/۰۹/۳۰

چکیده

در این تحقیق، ساختار ترازهای نقاط کوانتومی دوگانه دوالکترونی، برحسب محل تقاطع ترازهای انرژی یک سامانه پنج‌ترازی مدل شده است. این کار انجام شده است تا علل رویداد تشدیدهای چندفوتونی و تفاوت رفتار آنها را به ازای مضارب فرد و زوج انرژی فوتون در مجاورت گذارهای بار بین نقطه‌ای که نمایانگر وابستگی نامیزانی جریان به این عدم تقارن است، توضیح دهیم. ابتدا با استفاده از تقریب‌های قوی میدان و غیر بی‌درو، فاز تداخل و آهنگ‌های گذار تا مرتبه چهارم برای نامیزانی‌های صفر و دلخواه محاسبه شدند. سپس با شبیه‌سازی عددی و تحلیل آن، جریان در وضعیت سدشدگی اسپینی محاسبه شد، که با

^۱ DOI: 10.22051/ijap.2020.31396.1161

^۲ دبیر آموزش و پرورش ممسنی، سازمان آموزش و پرورش استان فارس، فارس، ایران؛ دانشجوی دکترا، گروه فیزیک، دانشکده علوم، دانشگاه یاسوج، یاسوج، ایران (نویسنده مسئول). mostafakarami35@yahoo.com

^۳ استادیار، گروه فیزیک، دانشکده علوم، دانشگاه یاسوج، یاسوج، ایران. p_zamani@yu.ac.ir

جریان اندازه‌گیری شده در آزمایش‌ها بر روی نقاط کوانتومی دوگانه GaAs و InAs، سازگاری کامل دارد. در پایان نشان داده شد که نتایج حاصل از این مدل، شامل همه خصوصیات مهم و بارز داده‌های موجود در مشاهدات تجربی است و این تفاوت رفتاری تشدیدها به‌ازای مضارب صحیح بسامد، مختص سامانه‌های چندترازی در معرض میدان‌های کاربردی بزرگ دامنه است. این مطالعه با انواع سامانه‌های چندترازی مقیاس نانو و میکرو، حالت جامد و اتمی یا ملکولی ارتباط تنگاتنگی دارد.

واژگان کلیدی: تداخل‌های کوانتومی چندترازی، تشدیدهای چندفوتونی، اثر مضارب فردزوج، رژیم دو الکترونی، جریان پس‌زمینه.

۱. مقدمه

در سال‌های اخیر، مطالعات گسترده‌ای درباره رفتار و ساختار سامانه‌های نانومقیاس که با میدان‌های وابسته به زمان خارجی برهم‌کنش دارند، در زمینه‌های مختلف فیزیک نظری و تجربی صورت گرفته است. هامیلتونی‌های وابسته به زمان، موجب خلق انواعی از پدیده‌های نوین شده که دسترس به آن‌ها در مکانیک کوانتومی بعید است. برای مثال، با اکتشاف و پیشرفت انواع لیزر، مسیرهایی مطلوب برای انجام تحقیقات جدید، در سامانه‌های غیرخطی قویاً تحریک‌شده ایجاد شده است [۴-۱]. فراوانی مطالعات در باب ساختار سامانه‌های دو ترازی تحریک‌شده قوی [۹-۵]، باعث شده تا سامانه‌های چندترازی حوزه جدید و وسیع‌تری را برای پژوهش و کار در اختیار دانشمندان قرار دهد. برهم‌کنش میدان با این‌گونه سامانه‌ها، به تغییر پاسخ اپتیکی آن‌ها از طریق تداخل‌های کوانتومی بین مسیرهای تحریکی مختلف یا جفت‌شدگی قوی میدان با ترازهای انرژی می‌انجامد. برای مثال، فرایندهای چندفوتونی مرتبه‌های بالا [۱۰ و ۱۱]، موجب ایجاد پدیده‌هایی کاملاً بدیع و مفید از قبیل وارونی جمعیت [۱۲-۱۴]، خنک‌سازی به وسیله لیزر و میکروموج‌های قوی [۱۵ و ۱۶] و طیف‌سنجی کیوبیتی^۴ [۱۷ و ۱۸] شده است.

در نقاط کوانتومی دوگانه (DQD) نانوسیم InAs، هماهنگ‌شدن چندتایی در تشدید اسپین دوقطبی الکتریکی (EDSR) برای الکترون‌های نوار رسانایی، تولید می‌شود [۱۹]. هماهنگ‌ها (n های صحیح)، وابستگی بارز نامیزانی را در مجاورت گذارهای بار بین نقطه‌ای نشان می‌دهند، در حالی که برای نامیزانی‌های بزرگ، فقط وضعیت تشدید اسپین اصلی قابل مشاهده است. وجود هماهنگ‌ها در شرط تشدید $E = n\hbar\omega$ مبین وابستگی فردزوج بوده، به طوری که علامت n های

⁴ Qubit spectroscopy

فرد و زوج متفاوت است [۱۹] و تولید آن‌ها در سامانه‌های نیم‌رسانای تحریک‌شده با تپ‌های تراهرتز [۲۰] و در نقاط کوانتومی (QD) که به طور الکتریکی تحریک می‌شوند، محسوس است [۲۱ و ۲۲]. وقتی تحریک DQD در مجاورت گذارها صورت گیرد، وقوع تشدیدهای چندفوتونی حتمی و مشاهده آن‌ها فقط از طریق سامانه‌هایی در حضور میدان‌های محرک بسیار قوی، امکان‌پذیر است [۲۳]. بنابراین، اغلب مشاهدات تجربی به فرایندهای دوفوتونی محدود می‌شوند.

وجود تفاوت رفتار (عدم تقارن) تشدیدهای چندفوتونی که نتیجه آزمایش بر روی DQD در وضعیت سدشدگی اسپینی است [۱۹ و ۲۲]، نشان داده است که هرگاه شکافتگی ثابت زیرمان الکترون، با مضرب زوجی از انرژی فوتون میدان دوره‌ای مساوی شود یعنی $E_z = 2n\hbar\omega$ ، آنگاه توقف جریان را در پی خواهد داشت اما جریان برای تشدیدهای فرد یعنی $E_z = (2n+1)\hbar\omega$ ، تقویت می‌شود. در سامانه‌های دوترازی دلیل عدم حساسیت این تفاوت رفتار نسبت به اندازه دامنه تحریک، بدون پاسخ مانده است [۲۴]. پژوهش‌هایی مبنی بر وجود و رویداد تشدیدهای مذکور، انجام گرفته [۲۵-۲۷] اما قادر به ارائه علتی برای اثر فردزوج در [۱۹ و ۲۲] نیستند.

در سال‌های اخیر، به طور تحلیلی توضیح کاملی بر پایه حد تحریک قوی در یک سامانه سه‌ترازی به منظور حل معمای فوق، توسط دنون و رادنر^۵ ارائه شد [۲۸] که به تبعیت از کار آن‌ها، ما نیز رخداد این پدیده را در سامانه‌های کوانتومی مختلف بررسی کردیم [۲۹]. سامانه‌های چندترازی، قبلاً در مطالعاتی از قبیل وقوع گذارهای چندفوتونی، به طور مستقیم یا از طریق یک حالت میانی تشدید در سامانه‌هایی از نوع نردبانی [۳۰] و دینامیک کیوبیت‌های ابررسانایی با استفاده از شبیه‌سازی‌های عددی [۱۲] مطالعه شدند.

گذارهایی که بین ترازهای انرژی در عدم تقاطع آن‌ها رخ می‌دهد، به عنوان گذارهای لاندائو-زیراستکلبرگ-مجورانا (LZSM) شناخته می‌شوند. هرگاه سامانه‌ای در معرض یک میدان بزرگ دامنه دوره‌ای قرار گیرد، موجب شکل‌گیری دنباله‌ای از گذارها شده و فاز به‌وجودآمده بین آن‌ها (فاز استکلبرگ)، به تداخل‌های سازنده یا ویرانگر می‌انجامد که این امر مبین وابستگی دوره‌ای سامانه به پارامترهای مختلف بوده و این پدیده تداخل‌سنجی LZSM نامیده می‌شود. در سامانه‌هایی که از طریق عدم تقاطع حالت‌های غیر بی‌دررو تحریک می‌شود، وقوع گذارهای LZSM قطعی بوده [۳۱-۳۴] که این رویداد فرایندی هم‌دوس، مشابه پرتوشکافی برای فوتون‌هاست به طوری که یکی از حالت‌های ورودی اتم را پذیرفته و یک برهم‌نهی از

⁵ Danon and Rudner

حالت‌ها را به وجود می‌آورد. عبورهای تکراری در هر عدم تقاطع بین دو تراز، به صورت تداخل-سنج اتمی عمل می‌کند که برای تداخل کوانتومی مکانیکی با خودش، حالت برهم‌نهی اتمی را ایجاد می‌کند. به دلیل وابستگی شدید ضرایب وزنی حالت برهم‌نهی به اندازه عدم تقاطع و سرعتی (تغییر انرژی نسبی بین ترازها در واحد زمان) که به واسطه آن محل تقاطع به وجود می‌آید، چنین تداخلی به طور کامل طیف انرژی اتم مصنوعی را نشان داده که می‌توان از آن برای تسهیل کنترل کوانتومی غیر بی‌درو استفاده کرد.

در این مقاله، علل رفتار متفاوت تشدیدهای چندفوتونی در n های زوج و فرد با استفاده از مدل‌سازی ساختار ترازهای یک DQD پنج‌ترازی دو الکترونی در رژیم وافازی قوی^۶ [۲۸]، به صورت نظری ارائه شده است. مشخص شد که علت وقوع و غلبه تشدیدها و تفاوت رفتار آن‌ها در مجاورت گذارهای بار بین نقطه‌ای، تداخل چندترازی LZSM است، به طوری که ویژگی‌های اصلی مشاهده‌شده در آزمایش [۱۹] را بازتولید کرده و تشدیدهایی تا هشت فوتون، وابستگی قوی فردزوج مضارب و افت‌وخیزهای موجود در EDSR، به صورت تابعی از نامیزانی تراز-انرژی نشان داده شد. برای نیل به این هدف، با انجام تحلیل کاملی بر اساس محل تقاطع چندترازی یک سامانه پنج‌ترازی که در آن، دو میدان بزرگ دامنه متقارن خارجی با دو تا از حالت‌ها (حالت‌های شاتل)^۷ به‌طور قوی جفت شده است، فاز تداخل و آهنگ‌های گذار با تقریب‌های قوی میدان و غیر بی‌درو تعیین شدند. در انجام این کار از اثرات برهم‌کنشی شاتل‌ها با یکدیگر صرف‌نظر شده و مسیر انجام محاسبات با یافتن هامیلتونی برهم‌کنش از طریق وابستگی زمانی تمامی ترازها در رژیم مذکور هموار شده است. تشدیدهای چندفوتونی که محصول تداخل‌های چندترازی میان فرایندهای مرتبه اول و سوم و نیز مرتبه‌های دوم با یکدیگر است به همدوسی‌های بلندمدت میان حالت‌های اول و سوم احتیاج داشته و پایستگی کامل چنین پدیده‌ای در رژیم وافازی، روی حالت‌های شاتل اثبات شد. سپس نتایج محاسبات با نتایج تجربی مقایسه و نشان داده شد که این محاسبات تمام خصوصیات اساسی داده‌های آزمایشگاهی را بازتولید کرده است.

۲. میدان‌های متقارن در سامانه‌های دوترازی

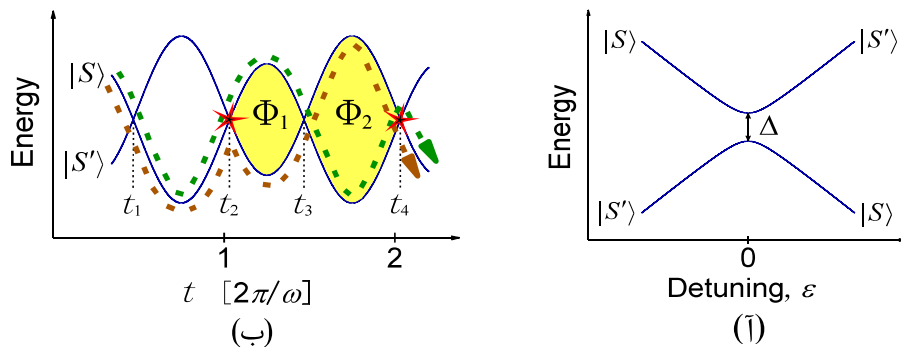
ابتدا با معرفی هامیلتونی زیر رویداد تشدیدهای چندفوتونی در یک سامانه کوانتومی دوترازی بررسی می‌شود. با فرض جفتدگی میدان‌های بزرگ دامنه با ترازها، پایه‌های سامانه $\{|S\rangle, |S'\rangle\}$ بوده و هامیلتونی مد نظر به شکل زیر است

^۶ Strong-dephasing regime

^۷ Shuttle states

$$H_2(t) = \begin{pmatrix} -\varepsilon(t) & \Delta/2 \\ \Delta/2 & \varepsilon(t) \end{pmatrix}, \quad (1)$$

در اینجا، $\varepsilon(t) = -\varepsilon_0 + A \sin \omega t$ ، میدان محرک با بسامد ω و نامیزانی مستقل از زمان ε_0 و دامنه A است و $\Delta/2$ عنصر جفتدگی است. معادله مشخصه حاصل از قطری کردن هامیلتونی (۱) را حل کرده و با لحاظ شروط تحریک قوی $\Delta \gg A$ و $A > |\varepsilon_0|$ ، طیف لحظه‌ای سامانه به - ترتیب در شکل‌های ۱ (آ) و (ب) به صورت توابعی از نامیزانی ε و زمان t رسم شده‌اند.



شکل ۱ با فرض شرط تحریک قوی و قطری کردن هامیلتونی، از حل معادله مشخصه، ترازهای انرژی به ترتیب در (آ) و (ب) به صورت توابعی از ε و t با خطوط باریک آبی رسم شده‌اند. مسیرهای تداخلی که سامانه را از $|S\rangle$ به $|S'\rangle$ می‌برد با خط‌چین‌های ضخیم به رنگ سبز و قهوه‌ای در شکل (ب) مشخص شده است.

گذارهای LZSM با دوره تحریک $T = 2\pi/\omega$ ، از طریق عدم تقاطع بین ترازهای متناظر با $|S\rangle$ و $|S'\rangle$ در زمان‌های t_2 و $t_4 = t_2 + T$ رخ داده‌اند که در شکل ۱ (ب) به شکل دو انفجار با رنگ قرمز نشان داده شده‌اند.

با فرض تحریک قوی، وقتی ترازهای انرژی تقریباً تبهگن شدند، رویداد گذارهای LZSM در نقاط $\{t_p\}$ که به خوبی تعریف شده‌اند پیش‌بینی پذیر هستند. در شکل ۱ (ب)، با ترسیم دو مسیر تداخلی با خط‌چین‌های سبز و قهوه‌ای ضخیم که سامانه را از حالت $|S\rangle$ به حالت $|S'\rangle$ برده، می‌توان به راحتی فاز تداخل را از رابطه زیر تعیین کرد

$$\Phi = |\Phi_1| - |\Phi_2| = \frac{1}{\hbar} \int_{t_2}^{t_2+T} dt (E_S - E_{S'}) = 4n\pi. \quad (2)$$

برای سهولت، تا پایان مقاله مقدار \hbar برابر عدد یک در نظر گرفته شده است. وقتی رابطه $\varepsilon_0 = n\omega$ حاکم شود، برای تمام n ‌های صحیح، تداخل سازنده خواهد بود که $\Phi = 4n\pi$. برای چنین وضعیتی، همه مسیرها با گذارهای در زمان‌های فرد یا زوج، به طور سازنده تداخل کرده‌اند، که به واسطه آن پاسخی تشدیدی به وجود آمده است. ساختار اضافی ناشی از تداخل

۶۲ / تفاوت رفتار تشدیدهای چندفوتونی به‌ازای مضارب فرد و زوج انرژی فوتون میدان‌های محرک قوی ...

میان مسیره‌ها، به فازهای انفرادی $\Phi_{1,2}$ بسیار حساس است. شدت خط تشدید چندفوتونی این سامانه که تحریک آن از طریق میدان‌های بزرگ دامنه سینوسی صورت می‌گیرد، با تابع بسل فرمول‌بندی شده است [۷]. حساسیت شدت تشدیدها به بسامد و دامنه میدان‌ها، باعث پیدایش دنباله‌ای از گره‌ها و قله‌ها است که با A/ω تغییر یافته‌اند.

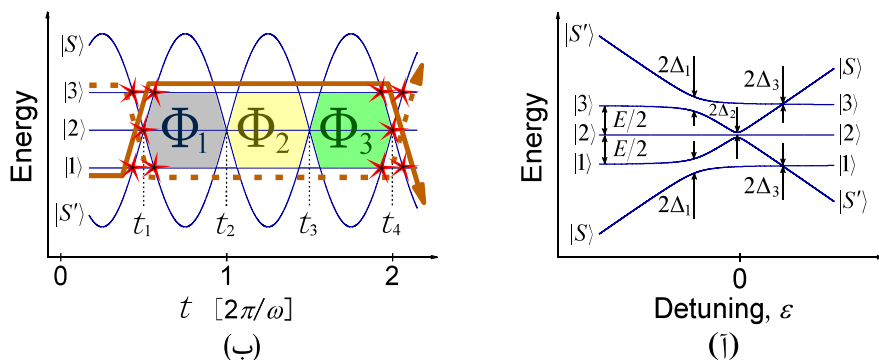
۳. سامانه‌های کوانتومی پنج‌ترازی

۳-۱ هامیلتونی و حالت‌های شاتل

اینک یک سامانه پنج‌ترازی که در آن جفتیگی حالت‌های $|S\rangle$ و $|S'\rangle$ با میدان‌های بزرگ دامنه صورت گرفته، بررسی می‌شود. این حالت‌ها همانند دو شاتل، تنها عامل جابه‌جایی جمعیت میان سه تراز دیگر است. می‌توان هامیلتونی این سامانه را در پایه‌های $\{|S\rangle, |3\rangle, |2\rangle, |1\rangle, |S'\rangle\}$ بدین صورت نوشت

$$H_5(t) = \begin{pmatrix} -\varepsilon(t) & \Delta_1 & \Delta_2 & \Delta_3 & 0 \\ \Delta_1 & E/2 & 0 & 0 & \Delta_3 \\ \Delta_2 & 0 & 0 & 0 & \Delta_2 \\ \Delta_3 & 0 & 0 & -E/2 & \Delta_1 \\ 0 & \Delta_3 & \Delta_2 & \Delta_1 & \varepsilon(t) \end{pmatrix}, \quad (3)$$

که در آن، $\varepsilon(t)$ و $-\varepsilon(t)$ مانند قبل، میدان‌های محرک متقارن و $\Delta_{1,2,3}$ عناصر جفتیگی‌اند. با در نظر داشتن شرط تحریک قوی $A \gg \Delta_{1,2,3}$ ، مشابه قبل با قطری کردن هامیلتونی و حل معادله مشخصه، به ترتیب در شکل ۲ (آ) و (ب)، طیف لحظه‌ای سامانه فوق برحسب ε و t نشان داده شده‌اند.



شکل ۲ در (آ) و (ب) با فرض تحریک قوی، ترازهای انرژی به ترتیب به صورت توابعی از ε و t با خطوط باریک آبی رسم شده‌اند. در (آ) ترازهای $|S\rangle$ و $|S'\rangle$ با ترازهای $|1\rangle$ ، $|2\rangle$ و $|3\rangle$ جفت شده‌اند. در (ب) مسیرهای تداخلی که سامانه را از $|1\rangle$ به $|S'\rangle$ و از $|3\rangle$ به $|S\rangle$ می‌برد با خطوط ضخیم یک‌پارچه و خط چین‌های قهوه‌ای رسم شده و فازهای تداخل $\Phi_{1,2,3}$ به شکل سه شش‌ضلعی و با رنگ‌های آبی و زرد و سبز مشخص شده‌اند.

با برقراری $\varepsilon_0 \pm E/2 = n\omega$ ، می‌توان به وضوح شاهد وقوع تشدیدهای دوترازی میان $|S\rangle$ و $|1\rangle$ یا $|3\rangle$ بود، اگر $-\varepsilon_0 \pm E/2 = n\omega$ باشد، این تشدیدها بین $|S'\rangle$ و $|1\rangle$ یا $|3\rangle$ رخ داده و سرانجام اگر رابطه $\pm\varepsilon_0 = n\omega$ حاکم شود، تشدیدها بین $|2\rangle$ و $|S\rangle$ یا $|S'\rangle$ به وجود خواهند آمد. باید توجه داشت که چنین تشدیدهایی، ساختار بدیعی را نمایش نمی‌دهد. لذا در ادامه، وجود و عدم تقارن تشدیدهای چندفوتونی توأم با شکاف‌های $E/2$ ، توسط ترازهای قویاً تحریک‌شده $|S\rangle$ و $|S'\rangle$ بررسی خواهد شد تا به موجب آن، پدیده چندترازی جدید به وجود آید.

۲-۲ فاز تداخل

مسیرهای تداخلی که به ترتیب سامانه را از $|1\rangle$ و $|3\rangle$ به $|S\rangle$ و $|S'\rangle$ می‌برد، با خطوط ضخیم یک پارچه و خط چین‌های قهوه‌ای در شکل ۲ (ب) رسم شده است. با فرض $E, \varepsilon_0 \gg A$ ، فاز تداخل به شکل سه شش ضلعی که از اشتراک نواحی جاروب‌شده میان ترازهای $|1\rangle$ و $|3\rangle$ توسط ترازهای شاتل، به وجود آمده است با رابطه $\Phi_1 + \Phi_2 + \Phi_3 \simeq E(t_4 - t_1) = 3E(T/2)$ محاسبه خواهد شد. مشخص است که این فاز، با شکاف‌های انرژی بین ترازهای $|1\rangle$ و $|2\rangle$ و $|3\rangle$ و نیز $T/2 = \pi/\omega$ محاسبه شده است و هیچ‌گونه وابستگی به دامنه یا شکل موج ندارد. همانند مسیرهای تداخلی شکل ۲ (ب)، مسیرهای فراوانی می‌توان رسم کرد به طوری که همواره وقوع آخرین گذارهای بار بین نقطه‌ای، تقریباً به صورت همزمان در $t_{p>1}$ انجام گیرد. تداخل سازنده این‌گونه مسیرها زمانی است که $\Phi_1 = \pi E/\omega = 2n\pi$ ، و این به معنای تثبیت وجود تشدیدهای چندفوتونی در مضارب زوج بسامد میدان‌هاست. برای گذارهای از $|1\rangle$ به $|2\rangle$ و $|3\rangle$ معلوم شده است که تشدیدهای اضافی در $E = n\omega$ رخ داده‌اند، اگر شکاف E مضرب صحیحی از بسامد باشد، رویداد تشدیدها با رفتاری متفاوت و منحصر به فرد، حتمی است. بنابراین، وجه افتراق سامانه‌های پنج‌ترازی با سامانه‌های دوترازی که در آن‌ها میزان وابستگی Φ_1 و تشدیدها به A و ε_0 اندک است، در شکل‌ها و تحلیل بالا به خوبی آشکار شده است.

۳-۳ بحث نظری

اکنون، با در نظر گرفتن وقوع گذارهای چندفوتونی در محل تقاطع ترازها، ساختار سامانه‌های چندترازی مختل شده توسط میدان‌ها، بر اساس پارامترهای اختلال مطالعه خواهد شد. به منظور دستیابی به این هدف، با وابسته به زمان کردن ترازها در رژیم وافازی قوی، یعنی جایی که همدوسی‌های میان $|S\rangle$ و $|1\rangle$ و $|S'\rangle$ ، همین‌طور میان $|S'\rangle$ و $|3\rangle$ و $|S\rangle$ در زمانی کمتر از T از بین می‌رود، به نسبت دوره تحریک، زمان طولانی‌تری صرف همدوسی‌های میان $|1\rangle$ و $|2\rangle$ ، $|2\rangle$

۶۴ / تفاوت رفتار تشدیدهای چندفوتونی به‌ازای مضارب فرد و زوج انرژی فوتون میدان‌های محرک قوی ...

و $\langle 3|$ ، $\langle 1|$ و $\langle 3|$ خواهد شد. از این رو، می‌توان بر روی ترازهای پایه سامانه، افزایش را توسط افت و خیزهای نوفه سفید گوسی^۸ با معادله زیر قالب‌بندی کرد

$$\delta H_5(t) = \sum_{\alpha} \xi_{\alpha}(t) |\alpha\rangle \langle \alpha|, \quad \alpha \in \{1, 2, 3, S, S'\}, \quad (4)$$

به طوری که، $\overline{\xi_{\alpha}(t)\xi_{\beta}(t')} = \Gamma_{\alpha} \delta(t-t') \delta_{\alpha\beta}$ ؛ در این رابطه، $\xi_{\alpha}(t)$ نوفه سفید گوسی و خط بالایی میانگین (مقدار چشمداشتی) نوفه و Γ_{α} نواخت و افزایش $|\alpha\rangle$ را مشخص می‌کند. در رژیم فوق، معادله شرودینگر وابسته به زمان بدین صورت است

$$(H_5 + \delta H_5) |\psi(t)\rangle = i \frac{d}{dt} |\psi(t)\rangle. \quad (5)$$

این رژیم ارتباطی کاملاً نزدیک با مشاهدات تجربی [۱۹ و ۲۲] دارد، یعنی جفت‌گی‌های ترازهای $|S\rangle$ و $|S'\rangle$ با میدان‌های بزرگ دامنه، باعث پهن‌شدگی طول عمر آن‌ها نسبت به سایر ترازها است و در نتیجه، پایستگی کامل تشدیدهای تداخلی و زوال تشدیدهای شبه دوترازی در $\varepsilon_0 \pm E/2 = n\omega$ و $-\varepsilon_0 \pm E/2 = n\omega$ و $\pm \varepsilon_0 = n\omega$ را به دنبال خواهد داشت.

تبدیل به تصویر برهم‌کنش تغییر یافته با استفاده از $|\psi_R(t)\rangle = e^{iR(t)} |\psi(t)\rangle$ به همراه $R(t) = \sum_{\alpha} \phi_{\alpha}(t) |\alpha\rangle \langle \alpha|$ و همچنین تغییر به چارچوب دورانی، نخستین گام شروع تحلیل است [۲۸]. فازهای ϕ_{α} با $\phi_{\alpha}(t) = -\int_0^t d\tau \bar{\varepsilon}_{\alpha}(\tau)$ تعیین می‌شود، به طوری که $\bar{\varepsilon}_{S,S'}(\tau) = \mp \varepsilon(\tau) + \xi_{S,S'}(\tau)$ و $\bar{\varepsilon}_2(\tau) = \xi_2(\tau)$ و $\bar{\varepsilon}_{1,3}(\tau) = \mp E/2 + \xi_{1,3}(\tau)$.

تحول زمانی حالت‌ها مطابق با $i(d/dt)|\psi_R\rangle = \tilde{H}_5(t)|\psi_R\rangle$ تعیین می‌شود، به نحوی که

$$\begin{aligned} \tilde{H}_5(t) = & -\dot{R} + e^{iR(t)} (H_5 + \delta H_5) e^{-iR(t)} = \Delta_1 e^{i\phi_{S1}(t)} |S\rangle \langle 1| \\ & + \Delta_2 e^{i\phi_{S2}(t)} |S\rangle \langle 2| + \Delta_3 e^{i\phi_{S3}(t)} |S\rangle \langle 3| + \Delta_1 e^{i\phi_{S'3}(t)} |S'\rangle \langle 3| \\ & + \Delta_2 e^{i\phi_{S'2}(t)} |S'\rangle \langle 2| + \Delta_3 e^{i\phi_{S'1}(t)} |S'\rangle \langle 1| + \text{H.C.}, \end{aligned} \quad (6)$$

در اینجا $\phi_{\alpha\beta}(t) \equiv \phi_{\alpha}(t) - \phi_{\beta}(t)$ و $\tilde{H}_5(t)$ هامیلتونی برهم‌کنش است. به دلیل وابستگی زمانی و جابه‌جاناپذیری $\tilde{H}_5(t)$ یعنی $[\tilde{H}_5(t_1), \tilde{H}_5(t_2)] \neq 0$ ، در تصویر برهم‌کنش فوق، می‌توان $U(t)$ یعنی عملگر تحول زمانی که عامل تحول سامانه بین زمان‌های صفر و t است، به شکل سری دایسون نوشت و با روش تکرار بسط داد، یعنی

$$U(t) = 1 + U^{(1)}(t) + U^{(2)}(t) + \dots$$

$$U^{(m)}(t) = (-i)^m \int_0^t dt_1 \dots \int_0^{t_{m-1}} dt_m \tilde{H}_5(t_1) \dots \tilde{H}_5(t_m)$$

⁸ Gaussian white-noise

۴-۳ محاسبه آهنگ‌های گذار

آهنگ گذار بین حالت‌های $|\alpha\rangle$ و $|\beta\rangle$ به شکل زیر است [۲۸]

$$W_{\alpha \rightarrow \beta} = \frac{d}{dt} |\langle \beta | U(t) | \alpha \rangle|^2. \quad (7)$$

هرگاه $U(t)$ تا مرتبه اول بسط داده شود، آهنگ‌های گذار از $|1\rangle$ به $|S'\rangle$ و $|S\rangle$ برای مرتبه‌های دوم به صورت زیر ارزیابی می‌شود

$$W_{1 \rightarrow S'}^{(2)} = \frac{d}{dt} |\langle S' | U^{(1)}(t) | 1 \rangle|^2 = \Delta_3^2 \frac{d}{dt} \int_0^t dt_1 \int_0^t dt_2 e^{i[\phi_{S'}(t_1) - \phi_{S'}(t_2)]}, \quad (8)$$

$$W_{1 \rightarrow S}^{(2)} = \Delta_1^2 \frac{d}{dt} \int_0^t dt_1 \int_0^t dt_2 e^{i[\phi_{S'}(t_1) - \phi_{S'}(t_2)]}, \quad (9)$$

با بهره بردن از برخی اتحادهای مثلثاتی در توان انتگرال‌ده‌ها و استفاده از $\exp\{i \int d\tau \xi(\tau)\} = \exp\{-\frac{1}{2} \int d\tau \int d\tau' \xi(\tau)\xi(\tau')\}$ [۲۸] و همچنین اعمال شروط $\Gamma_{S,S'} \gg \omega, \Gamma_{1,2,3}$ که سبب نامساوی $|t_1 - t_2| \ll 1/\omega$ شده و این نیز موجب بسط توابع مثلثاتی برای زمان‌های کوچک $t_1 - t_2$ حول $(t_1 + t_2)/2$ خواهد شد. سرانجام با به کارگیری تقریب‌های قوی میدان و غیر بی‌دررو برای گذارهای بار بین نقطه‌ای LZSM چندفوتونی، معادلات زیر حاصل شده‌اند

$$W_{1 \rightarrow S'}^{(2)} = \frac{\Delta_3^2 \Gamma_{S'}}{(\frac{1}{2}E + \varepsilon_0 - A \sin \omega t)^2 + \frac{1}{4} \Gamma_{S'}^2}, \quad (10)$$

$$W_{1 \rightarrow S}^{(2)} = \frac{\Delta_1^2 \Gamma_S}{(\frac{1}{2}E - \varepsilon_0 + A \sin \omega t)^2 + \frac{1}{4} \Gamma_S^2}, \quad (11)$$

با فرض $|E - \varepsilon_0| < A$ و در نظر گرفتن حدود تحریک قوی $\Gamma_{S,S'} \gg A$ که ناشی از حضور میدان‌هاست، هنگام تبهگنی تقریبی ترازها (لحظه عبور آن‌ها از یکدیگر)، آهنگ‌های گذار انفجاری را نمایش داده‌اند که در این زمان‌های خاص، از هم مجزایند. وقوع انفجارها زمانی بوده است که $A \sin \omega t \approx \varepsilon_0 + \frac{1}{2}E$ و $A \sin \omega t \approx \varepsilon_0 - \frac{1}{2}E$. میانگین گوسی آن‌ها برای دوره T برابر است با

$$W_{1 \leftrightarrow S'}^{(2)} = W_{3 \leftrightarrow S}^{(2)} \approx \frac{2\Delta_3^2}{\sqrt{A^2 - (\frac{1}{2}E + \varepsilon_0)^2}}, \quad (12)$$

$$W_{1 \leftrightarrow S}^{(2)} = W_{3 \leftrightarrow S'}^{(2)} \approx \frac{2\Delta_1^2}{\sqrt{A^2 - (\frac{1}{2}E - \varepsilon_0)^2}}, \quad (13)$$

۶۶ / تفاوت رفتار تشدیدهای چندفوتونی به‌ازای مضارب فرد و زوج انرژی فوتون میدان‌های محرک قوی ...

با محاسباتی همانند آنچه در بالا صورت گرفت، به آسانی می‌توان دیگر آهنگ‌ها و معکوسشان را به صورت زیر تعیین کرد

$$W_{2 \leftrightarrow S, S'}^{(2)} \approx \frac{2\Delta_2^2}{\sqrt{A^2 - \varepsilon_0^2}}, \quad (14)$$

$$W_{S \leftrightarrow S'}^{(2)} = 0, \quad (15)$$

$$W_{1 \leftrightarrow 2}^{(2)} = W_{2 \leftrightarrow 3}^{(2)} = W_{1 \leftrightarrow 3}^{(2)} = 0. \quad (16)$$

با بسط عملگر تحول زمانی تا $U^{(3)}(t)$ و همچنین رویداد تداخل LZSM چندترازی میان فرایندهای مرتبه‌های سوم با اول و نیز مرتبه‌های دوم با یکدیگر، نخستین بار به صورت زیر، تشدیدهای تداخلی در مرتبه چهارم پدید آمده است

$$W_{1 \rightarrow S'}^{(4)} = \frac{d}{dt} \left\{ 2\text{Re} \left[\overline{|U^{\dagger(3)}(t)|S'} \right] \langle S'|U^{(1)}(t)|1 \rangle + \overline{|S'|U^{(2)}(t)|1|^2} \right\}, \quad (17)$$

شکل هامیلتونی برهم‌کنش باعث شده است که $W_{2 \rightarrow S, S'}^{(4)}$ و $W_{1,3 \rightarrow S, S'}^{(4)}$ محصول تداخل سازنده نخستین جمله معادله (۱۷) باشد، چرا که دومین جمله، تداخلی ویرانگر است. چنین روندی برای $W_{S \leftrightarrow S'}^{(4)}$ ، $W_{1 \leftrightarrow 2}^{(4)}$ ، $W_{2 \leftrightarrow 3}^{(4)}$ و $W_{1 \leftrightarrow 3}^{(4)}$ برعکس است. مشابه مراحل که برای آهنگ-های مرتبه پایین صورت پذیرفت، با اعمال شروط $\omega, \Gamma_{1,2,3} \gg \Gamma_{S, S'} \gg A$ و حد تحریک قوی $A \gg \Gamma_{S, S'}$ که از آغاز محاسبات وجود داشته و با در نظر داشتن رژیم مورد علاقه $n \geq 1$ که نامساوی $A\omega/E \gg \Gamma_{S, S'}$ را به مسئله تحمیل کرده است، چهار تا از ده انتگرال موجود به - شکل زیر حاصل شده‌اند

$$\begin{aligned} W_{1,3 \leftrightarrow S, S'}^{(4)} = & \int_0^t d\tau \frac{2\Delta_1^2 \Delta_2^2 \Gamma_S \Gamma_{S'} e^{(\Gamma\omega/\pi)(t-\tau)}}{(\frac{1}{2}E + \varepsilon_0 - A \sin \omega t)^{3/2} + \frac{1}{4}\Gamma_S^2 \Gamma_{S'}^2} \times \text{Im} \left\{ \frac{e^{iE(t-\tau)}}{(\frac{1}{2}E + \varepsilon_0 - A \sin \omega t)^{3/4} - \frac{1}{2}\Gamma_S \Gamma_{S'}} \right\} \\ & + 3 \int_0^t d\tau \frac{2\Delta_1^2 \Delta_3^2 \Gamma_S \Gamma_{S'} e^{-(\Gamma\omega/\pi)(t-\tau)}}{(\frac{1}{2}E + \varepsilon_0 - A \sin \omega t)^{3/2} + \frac{1}{4}\Gamma_S^2 \Gamma_{S'}^2} \times \text{Im} \left\{ \frac{e^{-iE(t-\tau)}}{(\frac{1}{2}E + \varepsilon_0 - A \sin \omega t)^{3/4} + \frac{1}{2}\Gamma_S \Gamma_{S'}} \right\} \\ & + \int_0^t d\tau \frac{2\Delta_1 \Delta_2^2 \Delta_3 \Gamma_S \Gamma_{S'} e^{(\Gamma\omega/\pi)(t-\tau)}}{(\frac{1}{2}E + \varepsilon_0 - A \sin \omega t)^{3/2} + \frac{1}{4}\Gamma_S^2 \Gamma_{S'}^2} \times \text{Im} \left\{ \frac{e^{iE(t-\tau)}}{(\frac{1}{2}E + \varepsilon_0 - A \sin \omega t)^{3/4} - \frac{1}{2}\Gamma_S \Gamma_{S'}} \right\}, \end{aligned} \quad (18)$$

در معادله بالا، آهنگ افزایشی بی‌بعد به صورت $\Gamma = (\Gamma_1 + \Gamma_2)\pi/\omega = (\Gamma_2 + \Gamma_3)\pi/\omega$ است. به همین ترتیب، عباراتی مشابه با (۱۸) برای سایر آهنگ‌ها به‌دست خواهد آمد. برای نامیزانی‌های صفر و دلخواه، با به‌کارگیری برخی تقریب‌ها، ساده‌سازی انتگرال‌ها امکان‌پذیر شده که سرانجام برای $t \gg \Gamma_{1,2,3}^{-1}$ آهنگ‌ها بدین صورت نوشته شده‌اند

الف) برای نامیزانی صفر:

$$W_{1,3 \leftrightarrow S, S'}^{(4)} \approx -\frac{1}{4}\{g_0 + 3g_1 + g_2\}C, \quad (19)$$

$$W_{2 \leftrightarrow S, S'}^{(4)} \approx -\frac{2}{5}\{g_0 + 2g_2 + g_3\}C, \quad (20)$$

$$W_{S \leftrightarrow S'}^{(4)} \approx -\frac{8}{3}\{g_1 + g_2\}C, \quad (21)$$

$$W_{1 \leftrightarrow 2}^{(4)} = W_{2 \leftrightarrow 3}^{(4)} \approx \frac{1}{8}\{g_0 + 2g_2 + g_3\} + \frac{1}{5}(h_0 + 2h_2 + h_3)\}C, \quad (22)$$

$$W_{1 \leftrightarrow 3}^{(4)} \approx \left\{\frac{5}{2}g_1 + 4h_1\right\}C, \quad (23)$$

در روابط فوق $C = 2\pi/\omega = 3\pi/20$ ، $g_{0,1,2,3}$ و $h_{0,1,2,3}$ عبارتند از

$$g_0 = \Delta_1^2 \Delta_2^2 \frac{-\sin\left(\frac{2n-1}{2}\pi\right) \cosh \Gamma + e^\Gamma}{A^2(\sinh(2\Gamma) + \sin\left(\frac{2n-1}{2}\pi\right))},$$

$$g_1 = \Delta_1^2 \Delta_3^2 \frac{\sin\left(\frac{2n-1}{2}\pi\right) \cosh \Gamma + 2e^\Gamma - \sin\left(\frac{4n-3}{2}\pi\right)}{A^2(\sinh(2\Gamma) + \sin\left(\frac{2n-1}{2}\pi\right))},$$

$$g_2 = \Delta_1 \Delta_2^2 \Delta_3 \frac{-2\sin\left(\frac{2n-1}{2}\pi\right) \sinh \Gamma + e^{-\Gamma} - \cos((2n-1)\pi)}{A^2(\sinh(2\Gamma) + \sin\left(\frac{2n-1}{2}\pi\right))},$$

$$g_3 = \Delta_2^2 \Delta_3^2 \frac{-\cos\left(\frac{2n-1}{2}\pi\right) \cosh \Gamma - 2e^{-\Gamma} + 2\sin\left(\frac{4n-3}{2}\pi\right)}{A^2(\sinh(2\Gamma) + \sin\left(\frac{2n-1}{2}\pi\right))},$$

$$h_0 = \Delta_1^2 \Delta_2^2 \frac{[1 + \sin\left(\frac{2n-1}{2}\pi\right)] \cosh \Gamma}{A^2(\sinh(2\Gamma) - \sin\left(\frac{2n-1}{2}\pi\right))},$$

$$h_1 = \Delta_1^2 \Delta_3^2 \frac{[2 - \sin^2\left(\frac{2n-1}{2}\pi\right)] \cosh \Gamma}{A^2(\sinh(2\Gamma) - \sin\left(\frac{2n-1}{2}\pi\right))},$$

$$h_2 = \Delta_1 \Delta_2^2 \Delta_3 \frac{[1 + 2\sin\left(\frac{2n-1}{2}\pi\right)] \sinh \Gamma}{A^2(\sinh(2\Gamma) - \sin\left(\frac{2n-1}{2}\pi\right))},$$

$$h_3 = \Delta_2^2 \Delta_3^2 \frac{-\sin^2\left(\frac{2n-1}{2}\pi\right) \cosh \Gamma}{A^2(\sinh(2\Gamma) - \sin\left(\frac{2n-1}{2}\pi\right))},$$

که $n = E/\omega$ تعداد فوتونهاست.

ب) برای نامیزانی دلخواه آهنکها به صورت:

۶۸ / تفاوت رفتار تشدیدهای چندفوتونی به‌ازای مضارب فرد و زوج انرژی فوتون میدان‌های محرک قوی ...

$$W_{1,3 \leftrightarrow S, S'}^{(4)} \approx -(g_i + 3g_j + g_k)C, \quad (24)$$

$$W_{2 \leftrightarrow S, S'}^{(4)} \approx -\frac{5}{3}\{g_i + 2g_k + g_l\}C, \quad (25)$$

$$W_{S \leftrightarrow S'}^{(4)} \approx -4(g_j + g_k)C, \quad (26)$$

$$W_{1 \leftrightarrow 2}^{(4)} = W_{2 \leftrightarrow 3}^{(4)} \approx \left\{ \frac{1}{4}(g_i + 2g_k + g_l) + \frac{1}{2}(h_i + 2h_k + h_l) \right\} C, \quad (27)$$

$$W_{1 \leftrightarrow 3}^{(4)} \approx \left\{ \frac{5}{2}g_j + 4h_j \right\} C, \quad (28)$$

به‌دست آمده‌اند، با متغیرهای $g_{i,j,k,l}$ و $h_{i,j,k,l}$ که به شکل زیر هستند

$$g_i = \Delta_1^2 \Delta_2^2 \frac{-\sin((2n-1)d_-) [\cosh(\frac{\Gamma d_-'}{\pi}) + \cosh(\frac{\Gamma d_+'}{\pi})] + 2e^\Gamma}{A^2 (\sinh 2\Gamma + \frac{1}{2})(\frac{1}{2} - \delta^2)},$$

$$g_j = \Delta_1^2 \Delta_3^2 \frac{\sin((2n-1)d_-) [\cosh(\frac{\Gamma d_-'}{\pi}) + \cosh(\frac{\Gamma d_+'}{\pi})] + 2e^\Gamma - 1}{A^2 (\sinh(2\Gamma) + \frac{3}{4})(\frac{3}{4} + \delta^2)},$$

$$g_k = \Delta_1 \Delta_2^2 \Delta_3 \frac{-\sin((2n-1)d_-) [\sinh(\frac{\Gamma d_-'}{\pi}) + \sinh(\frac{\Gamma d_+'}{\pi})] + 2e^{-\Gamma} + 1}{A^2 (\sinh(2\Gamma) - 1)(1 - \delta^2)},$$

$$g_l = \Delta_2^2 \Delta_3^2 \frac{\cos((2n-1)d_-) [\cosh(\frac{\Gamma d_-'}{\pi}) + \cosh(\frac{\Gamma d_+'}{\pi})] - e^{-\Gamma} + 1}{A^2 (\sinh(2\Gamma) + \frac{1}{2})(\frac{3}{4} + \delta^2)},$$

$$h_i = \Delta_1^2 \Delta_2^2 \frac{[1 + \sin((2n-1)d_+')] \tanh(2\Gamma)}{A^2 (\frac{1}{2} - \delta^2)},$$

$$h_j = \Delta_1^2 \Delta_3^2 \frac{[-6 + \sin((2n-1)d_+)] \tanh(2\Gamma)}{A^2 (\delta^2 - 1)},$$

$$h_k = \Delta_1 \Delta_2^2 \Delta_3 \frac{[1 + 2\sin((2n-1)d_+')] \coth(2\Gamma)}{A^2 (1 - \delta^2)},$$

$$h_l = \Delta_2^2 \Delta_3^2 \frac{[-\sin^2((2n-1)d_+)] \tanh(2\Gamma)}{A^2 (\frac{3}{4} + \delta^2)},$$

که در آن‌ها، C مانند قبل، $d_\pm = \frac{\pi}{2} \pm \sin^{-1} \delta$ ، $d'_\pm = \frac{\pi}{2} \pm 2\sin^{-1} \delta$ ، $\delta = \varepsilon_0/A$ و n عددی صحیح است.

۴. نتایج حاصل از محاسبات تحلیلی

با در نظر گرفتن $\Gamma = 0.15\pi$ ، آهنگ‌ها در شکل ۳ (آ)، (ج)، (ه)، (ز) و (ت) به‌ازای $\delta = 0$ به - صورت توابعی از n ترسیم شده و در (ب)، (د)، (و)، (ح) و (ی) آن‌ها به صورت توابعی از δ ی

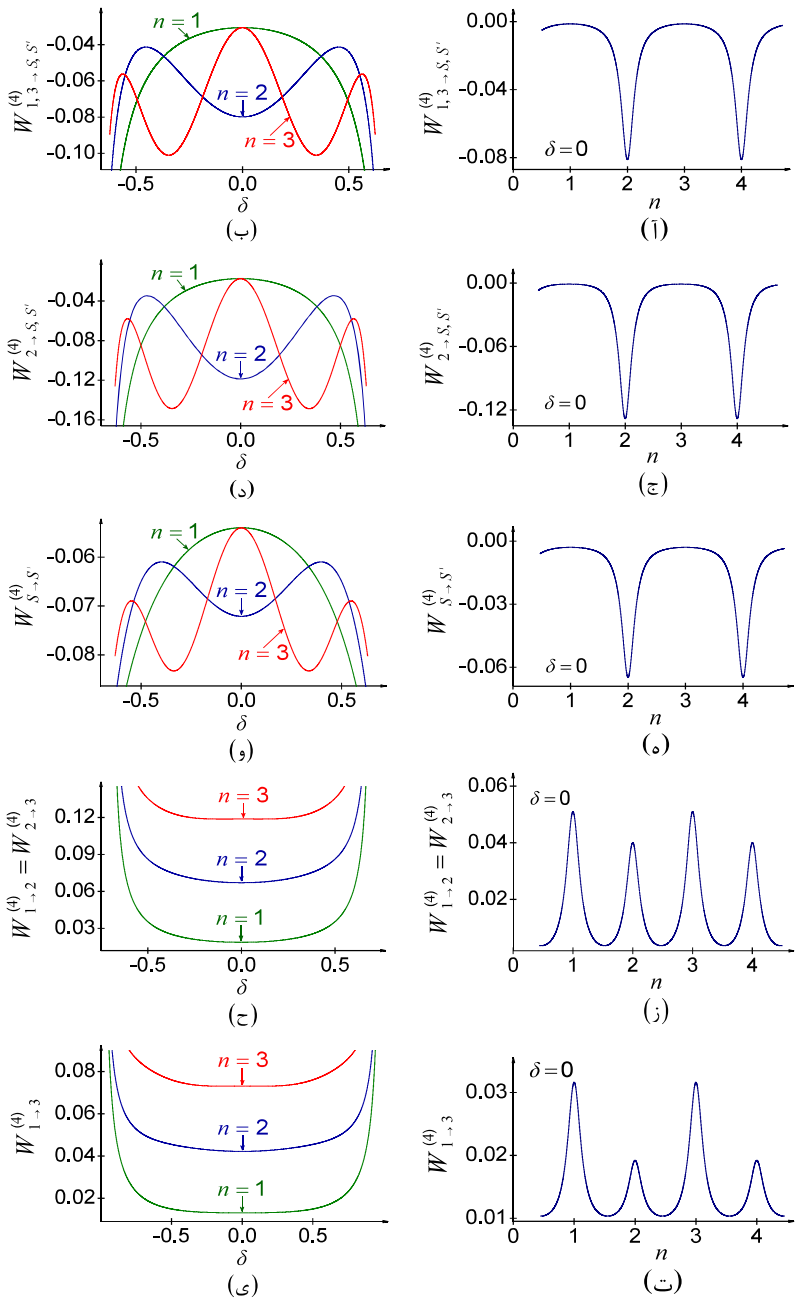
غیرصفر، به ازای $n=1,2,3$ که ویژگی‌هایی تشدیددی از خود بروز داده‌اند، رسم شده‌اند. در شکل ۳ (ز) و (ت)، تفاوت در رفتار تشدیدها به لحاظ کیفی به‌ازای n ‌های فرد و زوج کاملاً مشهود است، در حالی که به علت گذار مستقیم میدانی، در (آ) و (ج) و (ه)، رخداد تشدیدها فقط در n ‌های زوج قابل مشاهده است.

توقف آهنگ گذار پس‌زمینه بزرگ $W_{1 \rightarrow S'}^{(2)}$ ، پیامد منفی بودن $W_{1 \rightarrow S'}^{(4)}$ است. بنابراین، تا وقتی که آهنگ پس‌زمینه بزرگ از $\Gamma_1 + \Gamma_2 + \Gamma_3$ کوچکتر باشد آهنگ گذار کل $W_{1 \rightarrow S'}^{(2)} + W_{1 \rightarrow S'}^{(4)}$ ، علامتی مثبت خواهد داشت. برعکس، هرگاه $W_{1 \rightarrow S'}^{(2)}$ بزرگ‌تر از $\Gamma_1 + \Gamma_2 + \Gamma_3$ شود، به دلیل وقوع گذارهای بار بین نقطه‌ای LZSM، طولانی شدن طول عمر $|1\rangle$ ، $|2\rangle$ و $|3\rangle$ نسبت به حالت‌های قویاً تحریک‌شده را در پی دارد. با لحاظ کردن جملات بالاتر آهنگ‌ها، نیل به چنین اثری به سهولت امکان‌پذیر است. به همین صورت، بحث‌هایی مشابه فوق برای دیگر آهنگ‌ها می‌توان انجام داد. محاسبات تحلیلی بالا به روشنی نشان می‌دهد که تعداد ترازها و وجود شکاف بین آن‌ها در سامانه پنج‌ترازی، نقشی اساسی در رویداد تفاوت رفتاری تشدیدها ایفا کرده است. طوری که با افزایش میدان‌های اعمالی و شکاف‌های ثابت بین ترازها، با وضوح بهتری می‌توان نامتقارنی تشدیدها در مضارب فرد و زوج را در مقایسه با شکل ۲(ج) از مرجع [۲۸] مشاهده کرد؛ به شکل ۳ (ز) و (ت) توجه کنید.

۱-۴ مدل‌سازی DQD و تحلیل آن و مقایسه نتایج حاصل با داده‌های تجربی

با توجه به شکل ۳ (ز)، (ت)، (ح)، (ی)، پیش‌بینی تفاوت رفتار تشدیدها به‌ازای n ‌های فرد و زوج از طریق بررسی خصوصیات اساسی این نوع تشدیدهای چندفوتونی در سامانه‌های پنج‌ترازی میسر شده است. برای نیل به نتایج حاصله، افت‌وخیزهای قوی ترازهای $|S\rangle$ و $|S'\rangle$ به مسئله تحمیل شده است. در ادامه، با مرتبط نمودن نتایج با آزمایش‌های مراجع [۱۹ و ۲۲] که اندازه‌گیری جریان حالت مستقل از زمان، با حضور میدان‌های دوره‌ای قوی ac، در وضعیت سدشدگی اسپینی از طریق مدل‌سازی DQDs انجام گرفته، کار دنبال شده است.

۷۰ / تفاوت رفتار تشدیدهای چندفوتونی به‌ازای مضارب فرد و زوج انرژی فوتون میدان‌های محرک قوی ...



شکل ۳ در (آ)، (ج)، (ه)، (ز) و (ت) با فرض $\delta = 0$ ، آهنگ‌های گذار مرتبه چهارم به صورت توابعی از n رسم شده‌اند. این آهنگ‌ها در (ب)، (د)، (و)، (ح) و (ی) به صورت توابعی از $\delta \neq 0$ ، به‌ازای $n = 1, 2, 3$ رسم شده‌اند. نمودارهای مربوط به $n = 2, 3$ در شکل‌های (ح) و (ی) به ترتیب با افزودن اعداد 0.05 و 0.03 جبران شده‌اند. برای تمامی شکل‌ها $\Gamma = 0.15\pi$ در نظر گرفته شده است.

اخیراً، دینامیک LZSM، به منظور مطالعه امکان دستکاری عدم تقاطع تراز $S - T_+$ که به - علت برهم کنش های فوق ریز ایجاد می شود، برای رژیم دو الکترونی در یک نقطه کوانتومی دو گانه GaAs استفاده شده است [۸]. در چنین رژیمی، همواره می توان برای انرژی های کم، زیر فضای الکترونی DQD را با پنج حالت اندازه گرفت: اسپین تک تایی و $T(1,1)$ اسپین سه تایی، به طوری که هر الکترون یک نقطه را اشغال کند، همین طور $S(2,0)$ اسپین تک تایی توأم با پر شدن نقطه چپ توسط الکترون ها. در اینجا تعداد الکترون ها با اعداد ۰ و ۱ و ۲ در نقطه کوانتومی چپ یا راست نشان داده شده است. در وضعیت سد شدگی اسپینی، حالت های تک تایی $S(1,1)$ و $S(2,0)$ که با میدان های بزرگ دامنه، مستقیماً جفت شده اند شار جریان را ایجاد کرده اند و اندازه جریان توسط طول عمر حالت های سه تایی $T(1,1)$ تعیین شده، به طوری که به تقریب صفرم با حالت های تک تایی مذکور، جفت نشده است. در اینجا جفتیگی میان تراز های تک تایی و اسپین سه تایی سد شده، از طریق جفتیگی های فوق ریز، اسپین مدار یا بی هنجار زیمان، صورت گرفته است. به دور از نقاطی که تراز های انرژی تک تایی - سه تایی تبهگن شده اند، میدان های بزرگ دامنه قادرند انرژی لازم را برای ایجاد گذارهای بار بین نقطه ای تأمین کنند [۳۵ و ۳۶]. توجه کنید هر گاه شرط تشدید $E = n\omega$ برقرار شود، تقویت جریان بر عهده این جفتیگی ها است.

مدل پنج تراز ی که توصیف شد فیزیک اساسی تشدیدها را به خوبی نمایان کرده است. در اینجا $|S\rangle$ و $|S'\rangle$ ، به ترتیب $S(2,0)$ و $S(1,1)$ از DQD را نشان می دهند و $|2\rangle$ حالت سه تایی $T_0(1,1)$ با اسپین های رو به بالای الکترون را، در حالی که $|1\rangle$ و $|3\rangle$ به ترتیب برهم نهی هایی خاص از $S(1,1)$ با $T_+(1,1)$ و $S(2,0)$ با $T_-(1,1)$ را نشان داده که تعیین این حالت ها به وسیله انرژی بی هنجار زیمان در DQD صورت گرفته است. حالت های $|S\rangle$ و $|S'\rangle$ که مبین تراز های ناقطبیده $S(2,0)$ و $S(1,1)$ است، تقریب دیگری را فراهم آورده است، که با دنباله ای از تشدید های چند فوتونی در $E' = n\omega$ معادل است، به طوری که رابطه $E'/E = g_1/g_2$ با عامل های مؤثر g الکترونی در QDs شکل گرفته است. شایان ذکر است که تفاوت رفتاری تشدیدها در سامانه های تحریک شده توسط دو میدان قوی متقارن هنگامی رخ می دهد، که این سامانه ها به لحاظ تعدد ترازها، حداقل چهار تراز داشته باشند، یعنی حداقل یک شکافتگی بین ترازها شکل گرفته باشد [۲۹]. با نگاهی به محاسبات و شکل ۳ مشخص می شود که با افزایش تراز های جفتیده با میدان های کاربردی، زیبایی و پیچیدگی محاسبات بیشتر و تفاوت رفتار تشدیدها نسبت به مرجع [۲۸] آشکار تر شده است.

۲-۴ محاسبه جریان و تفاوت رفتار تشدیدها

با در نظر گرفتن تمام سهم‌های مرتبه‌های دوم و چهارم آهنگ‌ها، معادله عمومی برای احتمال‌های اشغال ترازهای $\{p_{1,2,3}, p'_{1,2,3}\}$ به صورت زیر است

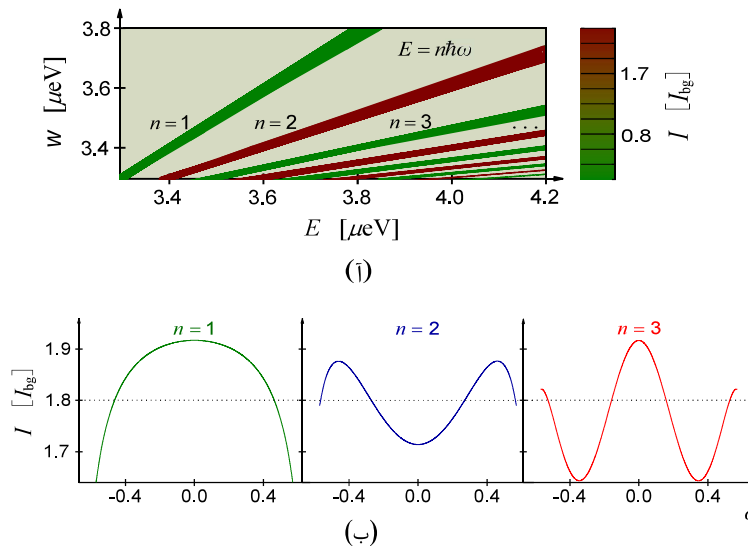
$$\begin{aligned} \frac{dp_3}{dt} = \frac{dp'_3}{dt} = & \{p_3(W_{3 \rightarrow 1} + W_{3 \rightarrow 2} + \frac{1}{3}W_{3 \rightarrow S}) + p_1(W_{1 \rightarrow 2} + W_{1 \rightarrow 3} + \frac{1}{3}W_{1 \rightarrow S}) \\ & - p_2(W_{2 \rightarrow 1} + W_{2 \rightarrow 3} + \frac{2}{3}W_{2 \rightarrow S})\} \times \{p'_3(W_{3 \rightarrow 1} + W_{3 \rightarrow 2} + \frac{1}{3}W_{3 \rightarrow S'}) \\ & + p'_1(W_{1 \rightarrow 2} + W_{1 \rightarrow 3} + \frac{1}{3}W_{1 \rightarrow S'}) - p'_2(W_{2 \rightarrow 1} + W_{2 \rightarrow 3} + \frac{2}{3}W_{2 \rightarrow S'})\}, \end{aligned} \quad (29)$$

که در اینجا، $p_1 + p_2 + p_3 = 1 - p'_1 - p'_2 - p'_3$ از احتمالات p_S و $p'_{S'}$ در معادله (۲۹) چشم‌پوشی شده است که این کار به دلیل فروافت‌های آنی جمعیت از شاتل‌ها و بارگیری‌های پشت سر هم آن‌ها به حالت‌های |1> و |2> و |3> است. با حل (۲۹) به‌ازای هریک از مقادیر $p_{1,2,3}^{(eq)}$ و $p'_{1,2,3}^{(eq)}$ ، مثلاً برای معادله $dp_3^{(eq)}/dt = dp'_3^{(eq)}/dt = 0$ ، جریان حالت مستقل از زمان به صورت زیر محاسبه شده است

$$\begin{aligned} I = e \{ & p_1^{(eq)} W_{1 \rightarrow S} + p_2^{(eq)} W_{2 \rightarrow S} + p_3^{(eq)} W_{3 \rightarrow S} \} \\ & \times \{ p'_1^{(eq)} W_{1 \rightarrow S'} + p'_2^{(eq)} W_{2 \rightarrow S'} + p'_3^{(eq)} W_{3 \rightarrow S'} \}. \end{aligned} \quad (30)$$

برای قیاس این محاسبات با نتایج تجربی موجود در شکل ۲(d) از [۱۹]، فرض شده است که نامیزانی صفر است یعنی $\delta = 0$. در ادامه کار، $\omega, E \sim 1 - 40 \mu\text{eV}$ ، $\Delta_1/\sqrt{A} = 0.75 \mu\text{eV}$ ، $\Delta_2/\sqrt{A} = 0.1875 \mu\text{eV}$ ، $\Delta_3/\sqrt{A} = 0.046875 \mu\text{eV}$ ، یعنی $\Delta_1^2/\Delta_2^2 = \Delta_2^2/\Delta_3^2 = 16$ ، و $\Gamma_{1,2,3} = 1 \mu\text{eV}$ [۳۷] در نظر گرفته شده است. جریان حالت مستقل از زمان تولیدشده که با I_{bg} یعنی جریان غیرتشدید پس‌زمینه به‌نحویت شده است، در شکل ۴ (آ) رسم شده است. به‌واسطه گذارهای چندفوتونی $W_{2 \leftrightarrow S, S'}^{(2)}$ و $W_{1,3 \leftrightarrow S, S'}^{(2)}$ در کنار جاروب کردن‌های تکراری از طریق ترازهای متقاطع $S(1,1) - T_+(1,1)$ و $S(1,1) - T_-(1,1)$ به وجود آمده است، که در این شبیه‌سازی $I_{bg} \sim 2 \text{ pA}$ است. این مدل پنج‌ترازی به زیبایی موجب خلق تمامی خصوصیات برجسته داده‌ها و نتایج تجربی شده است، بدین ترتیب که با فراهم آوردن پاسخ تشدید جریان در امتداد خطوط فوتون‌ها، میان تقویت برای مضارب فرد و توقف برای مضارب زوج، سبب راه‌اندازی تناوبی بادبزنگونه شده است، به نحوی که برای DQDs واقعی، بر روی |1> و |2> و |3> غلبه نوفه دارای مؤلفه‌های کم‌بسامد کاملاً مشهود است. در مضارب زوج، آهنگ‌های منفی $W_{S \leftrightarrow S'}^{(4)}$ و $W_{2 \leftrightarrow S, S'}^{(4)}$ و $W_{1,3 \leftrightarrow S, S'}^{(4)}$ موجب توقف جابه‌جایی جمعیت از

1 و 2 و 3 به حالت‌های شاتل شده که کاهش جریان نسبی پس‌زمینه را در پی داشته است. اما در مضارب فرد، آهنگ‌های $W_{1 \leftrightarrow 2}^{(4)}$ ، $W_{2 \leftrightarrow 3}^{(4)}$ و $W_{1 \leftrightarrow 3}^{(4)}$ مقدار بیشینه را به خود اختصاص داده که در آن‌ها حالت‌های 1 با 2، 2 با 3، 1 با 3، به شکلی کارآمد ترکیب شده‌اند و به موجب آن، تقویت آهنگ جابه‌جایی جمعیت از قوی‌ترین حالت‌های سد شده 1 و 3 شکل گرفته و بلافاصله جریان کل تقویت شده است. $|S\rangle$ و $|S'\rangle$ که مبین ترازهای ناقطییده $S(1,1)$ و $S(2,0)$ است، تقریب دیگری را فراهم کرده، که با دنباله‌ای از تشدیدهای چندفوتونی در $E' = n\omega$ معادل است، به طوری که رابطه $E'/E = g_1/g_2$ با عامل‌های مؤثر g الکترونی در QDs شکل گرفته است. شکافتگی ترازهای $S(1,1)$ و $S(2,0)$ از 1 و 3 با E' انجام شده است که باعث ایجاد قله‌ها و فرورفتگی‌های جریان در $E' = n\omega$ به شکل بادبزنی شده و تفاوت رفتاری تشدیدها در مضارب فرد و زوج انرژی فوتون را به خوبی نمایش داده است، به این معنا که بادبزنی دولا شده در شکل 2(d) از مرجع [۱۹] به خوبی بازسازی شده است. در زیر، به طور چشمگیری آرام در آزمایش مدولاسیون ($I_{bg} \sim 2 \text{ pA}$)، با رسم نمودارهایی متمایز در مقیاس $\varepsilon_0 \sim A$ برای هر تشدید، وابستگی نامیزانی جریان بررسی شد. شکل 2(b) از مرجع [۱۹] را ببینید.



شکل ۲ در (a) جریان بهنجار شده با I_{bg} به شکل تابعی از بسامد و شکاف E برای $\delta = 0$ ، در وضعیت سد شدگی اسپینی از طریق DQD پنج تراز تحریک شده، نشان داده شده است. شکل (b) نمایش مدولاسیون تشدیدهای چندفوتونی است که در آن جریان به شکل تابعی از δ برای $n = 1, 2, 3$ ترسیم شده است.

۷۴ / تفاوت رفتار تشدیدهای چندفوتونی به‌ازای مضارب فرد و زوج انرژی فوتون میدان‌های محرک قوی ...

لازم است ذکر کنیم که شکل ۴ (ب) نمایش جریان حالت مستقل از زمان به شکل تابعی از δ ، به‌ازای $n=1,2,3$ بوده که مشابه (آ) و با همان پارامترها، رسم شده است. ملاحظه می‌شود وابستگی نامیزانی جریان I ، با نتایج تجربی کاملاً سازگار است که این موضوع به دلیل وابستگی ضعیف فازهای تداخل در نامیزانی ε_0 است.

۵. نتیجه‌گیری

از مقایسه سامانه‌های دوترازی و پنج‌ترازی نشان داده شد که علی‌رغم وابسته به زمان بودن هر دو، علت وقوع و تفاوت رفتار تشدیدهای چندفوتونی در سامانه‌های پنج‌ترازی، تداخل‌های کوانتومی LZSM چندترازی میان فرایندهای مرتبه مختلف است. بزرگی دامنه میدان‌های کاربردی که عامل تحریک قوی است، نقش عمده‌ای در جابه‌جایی جمعیت بین ترازها ایفا کرده است. جابه‌جایی جمعیت بین حالت‌ها، با $S(1,1)$ و $S(2,0)$ که خودشان به شدت نوفه‌ای هستند، صورت گرفته است. با تحقق پیش‌بینی بروز رفتار متفاوت تشدیدها در مضارب فرد و زوج بسامد، به کمک فاز تداخل و رویداد گذارهای بار بین نقطه‌ای LZSM در نقاط تبهگنی، مسیر بررسی زوال تشدیدهای شبه دوترازی و پایستگی کامل تشدیدهای تداخلی در رژیم وافازی قوی، با انجام محاسبات تحلیلی هموار شد. نشان داده شد که برای بررسی پدیده عدم تقارن تشدیدها در سامانه‌های کوانتومی در معرض میدان‌های محرک، تعداد میدان‌ها و ترازها و وجود شکاف بین آن‌ها نقشی اساسی ایفا کرده است، یعنی با افزایش ترازهای جفتیده با میدان‌ها، پیچیدگی محاسبات بیشتر و بر نامتقارنی تشدیدها در مضارب صحیح بسامد افزوده شده است که این مهمترین وجه افتراق پژوهش حاضر با مرجع سه‌ترازی [۲۸] است. در هامیلتونی برهم‌کنش که پارامتر اختلال ناشی از اثرات برهم‌کنشی میدان‌ها، صفر در نظر گرفته شده است، جان‌مایه فرمول‌بندی آهنگ-های گذار و وابستگی نامیزانی جریان به عدم تقارن تشدیدهاست. همچنین پایستگی اثر فردزوج مضارب در رژیم مذکور و عدم حساسیت این پدیده نسبت به افت‌وخیزهای قوی انرژی شاتل‌ها نشان داده شد. در وضعیت سدشدگی اسپین، اندازه و شار جریان حالت مستقل از زمان به ترتیب با حالت‌های تک‌تایی و سه‌تایی تعیین شد. سرانجام با مدل‌سازی نمودن ساختار ترازهای یک‌DQD پنج‌ترازه و با شناسایی پاسخ‌های تشدیددار وابسته به رفتار چنین سامانه‌هایی، تفاوت رفتار مشاهده‌شده تشدیدهای چندفوتونی در کارهای آزمایشگاهی توضیح داده شد.

منابع

- [1] Manakov N. L., Ovsiannikov V. D., Rapoport L. P., "Atoms in a laser field", *Phys. Rep.* 141, 320-433 (1986).
- [2] Faisal F. H. M., "Theory of Multiphoton Processes", (Plenum, New York, 1987).
- [3] Fainshtein A. G., Manakov N.L., Ovsiannikov V.D., Rapoport L.P., "Nonlinear susceptibilities and light scattering on free atoms", *Phys. Rep.* 210, 111-221 (1992).
- [4] Kleber M., "Exact solutions for time-dependent phenomena in quantum mechanics", *Phys. Rep.* 236, 331-393 (1994).
- [5] Oliver W. D., Yu Y., Lee J. C., Berggren K. K., Levitov L. S., and Orlando T. P., "Mach-Zehnder interferometry in a strongly driven superconducting qubit", *Science* 310, 1653-1657 (2005).
- [6] Ashhab S., Johansson J. R., Zagoskin A. M., and Nori F., "Two-level systems driven by large-amplitude fields", *Phys. Rev. A* 75 (2007) 063414.
- [7] Shevchenko S. N., Ashhab S., and Nori F., "Landau-Zener- Stückelberg interferometry", *Phys. Rep.* 492, 1-30 (2010).
- [8] Ribeiro H., Petta J. R., and Burkard G., "Interplay of charge and spin coherence in Landau-Zener-Stückelberg-Majorana interferometry", *Phys. Rev. B* 87 (2013) 235318.
- [9] Zhou J., Huang P., Zhang Q., Wang Z., Tan T., Xu X., Shi F., Rong X., Ashhab S., and Du J., "Observation of time-domain Rabi oscillations in the Landau-Zener regime with a single electronic spin", *Phys. Rev. Lett* 112 (2014) 010503.
- [10] Scully M. O. and Zubairy M. S., "*Quantum Optics*", (Cambridge University Press, Cambridge, England, 1997).
- [11] Sun G., Wen X., Mao B., Chen J., Yu Y., Wu P., and Han S., "Tunable quantum beam splitters for coherent manipulation of a solid-state tripartite qubit system", *Nat. Commun* 1 (2010) 51.
- [12] Sun G., Wen X., Wang Y., Cong S., Chen J., Kang L., Xu W., Yu Y., Han S., and Wu P., "Population inversion induced by Landau-Zener transition in a strongly driven rf-SQUID", *Appl. Phys. Lett* 94 (2009) 102502.
- [13] de Graaf S. E., Leppakangas J. J., Adamyan A., Danilov A. V., Lindstrom T., Fogelstrom M., Bauch T., Johansson G., and Kubatkin S. E., "Charge qubit coupled to an intense microwave electromagnetic field in a superconducting Nb device: evidence for photon-assisted quasiparticle tunneling", *Phys. Rev. Lett* 111 (2013) 137002.
- [14] Colless J. I., Croot X. G., Stace T. M., Doherty A. C., Barrett S. D., Lu H., Gossard A. C., and Reilly D. J., "Raman phonon emission in a driven double quantum dot", *Nat. Commun* 5 (2014) 3716.
- [15] Grajcar M., Ploeg S. H. W. V. D., Izmalkov A., Il'ichev E., Meyer H. G., Fedorov A., Shnirman A., and Schon G., "Sisyphus cooling and amplification by a superconducting qubit", *Nature Physics* 4, 612-616 (2008).
- [16] Valenzuela S. O., Oliver W. D., Berns D. M., Berggren K. K., Levitov L. S., and Orlando T. P., "Microwave-induced cooling of a superconducting qubit", *Science* 314, 1589-1592 (2006).
- [17] Satanin A. M., Denisenko M. V., Ashhab S., and Nori F., "Amplitude spectroscopy of two coupled qubits", *Phys. Rev. B* 85 (2012) 184524.
- [18] Berns D. M., Rudner M. S., Valenzuela S. O., Berggren K. K., Oliver W. D., Levitov L. S., and Orlando T. P., "Amplitude spectroscopy of a solid-state artificial atom", *Nature* (London) 455, 51-57 (2008).
- [19] Stehlik J., Schroer M. D., Maialle M. Z., Degani M. H., and Petta J. R., "Extreme harmonic generation in electrically driven spin resonance", *Phys. Rev. Lett* 112 (2014) 227601.
- [20] Zaks B., Liu R. B., and Sherwin M. S., "Experimental observation of electron-hole recollisions", *Nature* (London) 483, 580-583 (2012).

- [21] Nadj-Perge S., Pribrig V. S., J. W. G. van den Berg J. W. G., Zuo K., Plissard S. R., Bakkers E. P. A. M., Frolov S. M., and Kouwenhoven L. P., "Spectroscopy of spin-orbit quantum bits in indium antimonide nanowires", *Phys. Rev. Lett* 108 (2012) 166801.
- [22] Laird E. A., Barthel C., Rashba E. I., Marcus C. M., Hanson M. P., and Gossard A. C., "A new mechanism of electric dipole spin resonance: hyperfine coupling in quantum dots", *Semicond. Sci. Technol* 24 (2009) 064004.
- [23] Cohen-Tannoudji B. D., Laloe C. and F., "*Quantum Mechanics Volume One*", (Wiley, New York, 1977).
- [24] Shytov A. V., Ivanov D. A., and Feigel'man M. V., "Landau-Zener interferometry for qubits", *Eur. Phys. J. B* 36, 263-269 (2003).
- [25] Rashba E. I., "Mechanism of half-frequency electric dipole spin resonance in double quantum dots: Effect of nonlinear charge dynamics inside the singlet manifold", *Phys. Rev. B* 84 (2011) 241305.
- [26] Széchenyi G. and Palyi A., "Maximal Rabi frequency of an electrically driven spin in a disordered magnetic field", *Phys. Rev. B* 89 (2014) 115409.
- [27] Nowak M. P., Szafran B., and Peeters F. M., "Resonant harmonic generation and collective spin rotations in electrically driven quantum dots", *Phys. Rev. B* 86 (2012) 125428.
- [28] Danon J. and Rudner M. S., "Multilevel interference resonances in strongly driven three-level systems", *Phys. Rev. Lett* 113 (2014) 247002.
- [29] Karami M., Javdani A. and Karami K., "Modeling the level structure of a double quantum dot in the two-electron regime", *J. Phys. B: At. Mol. Opt. Phys.* 52 (2019) 025504.
- [30] Krainov V. P., Sov. "Theory of resonance multiphoton transitions in a three-level system under the influence of a strong electromagnetic field", *Phys. JETP* 43, 622-625 (1976).
- [31] Landau L. D., "*Zur theorie der energieubertragung. II*", *Phys. Z. Sowjetunion* 2, 46-51 (1932).
- [32] Zener C., "*Non-adiabatic crossing of energy levels*", *Proc. R. Soc. London, Ser. A* 137, 696-702 (1932).
- [33] Stueckelberg E. C. G., "*Theorie der unelastischen Stosse zwischen Atomen*", *Helv. Phys. Acta* 5, 117-171 (1932).
- [34] Majorana E., "*Atomi orientati in campo magnetico variabile*", *Nuovo Cimento* 9, 43-50 (1932).
- [35] Nowack K. C., Koppens F. H. L., Nazarov Y. V., and Vandersypen L. M. K., "Coherent control of a single electron spin with electric fields", *Science* 318, 1430-1433 (2007).
- [36] Laird E. A., Barthel C., Rashba E. I., Marcus C. M., Hanson M. P., and Gossard A. C., "Hyperfine-mediated gate-driven electron spin resonance", *Phys. Rev. Lett* 99 (2007) 246601.
- [37] Nadj-Perge S., Frolov S. M., van Tilburg J. W. W., Danon J., Nazarov Y. V., Algra R., Bakkers E. P. A. M., and Kouwenhoven L. P., "Disentangling the effects of spin-orbit and hyperfine interactions on spin blockade", *Phys. Rev. B* 81 (2010) 201305.